

脱水環化脱水素による 2-アルキルピリミジン類の合成<sup>1)</sup>

土屋裕弘, 森田修之, 岡田寿太郎  
京都大学薬学部<sup>2)</sup>

Syntheses of 2-Alkylpyrimidines by Dehydrocyclization and Dehydrogenation<sup>1)</sup>

MICHIHIRO TSUCHIYA, SHUSHI MORITA and JUTARO OKADA

Faculty of Pharmaceutical Sciences, Kyoto University<sup>2)</sup>

(Received August 13, 1976)

Dehydrocyclization and dehydrogenation of trimethylenediamine and aldehyde to 2-alkylpyrimidine was studied on a Pt-Rh-Al<sub>2</sub>O<sub>3</sub> catalyst in a stream of hydrogen gas at atmospheric pressure. The reaction was carried out between 290 and 410° in a flow system. The vapor of nonaqueous solvent (benzene or alcohols corresponding to the aldehyde) and nitrogen gas were examined as a diluent instead of water vapor which was used in a previous work. By the use of benzene and alcohol as a diluent, the yield of 2-alkylpyrimidine increased markedly to 48—81% without a decay in the catalyst activity. On the other hand, the decay was observed by the use of nitrogen gas as a diluent.

Reaction conditions were also examined for the formation of 2-alkylpyrimidine from trimethylenediamine with alcohol, acid, or ester; the principal product was 2-ethylpyrimidine from 3,3'-diaminodipropylamine induced by disproportionation of trimethylenediamine. Therefore, the desired product (2-alkylpyrimidine) could not be obtained in a good yield.

**Keywords**—vapor phase reaction; catalyst; reaction mechanism; alkylpyrimidine synthesis; dehydrocyclization; dehydrogenation

著者らは先に、水蒸気気流中、白金族金属を担持した  $\gamma$ -Al<sub>2</sub>O<sub>3</sub> 触媒上、トリメチレンジアミン (1) とアルデヒド (2) とから 2-アルキルピリミジン (3) の生成について Chart 1 に示す反応機構を推定し報告した。<sup>3,4)</sup> すなわち、トリメチレンジアミン (1) とアルデヒド (2) とは容易に脱水環化してヘキサハイドロ-2-アルキルピリミジン (4) を生じ、これが白金族金属により脱水素されて 1,4,5,6-テトラハイドロ-2-アルキルピリミジン (5) となり、さらに脱水素されて 2-アルキルピリミジン (3) を生成する。テトラハイドロ-2-アルキルピリミジン (5) はまた、共存する H<sub>2</sub>O により開環し、N-アシルトリメチレンジアミン (6) となるが、5 と 6 は平衡関係にある。アルデヒド (2) と反応しないトリメチレンジアミン (1) は、 $\gamma$ -Al<sub>2</sub>O<sub>3</sub> 上の固体酸により不均化して 3,3'-ジアミノジプロピルアミン (7) を生じ、脱アミノ環化して 2-エチルヘキサハイドロピリミジン (8) となり、以降上と同様の脱水素経路で 2-エチルピリミジン (9) を生成する。

これらの反応の速度式を誘導するにあたり、次の仮定を設けた。

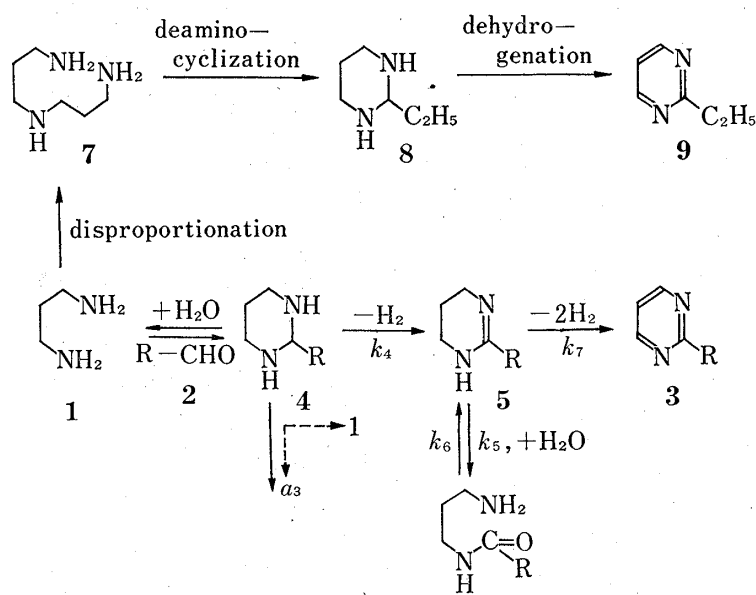
- (i) 触媒層に到達した時の 4 の分圧 ( $p_4$ ) は、1 の初期分圧 ( $p_1^0$ ) の  $\alpha$  倍であり、触媒層内では  $1 \rightleftharpoons 4$  の平衡は移動しない。(各物質 (i) の分圧を  $p_i$  で示し、その初期分圧は肩付添字<sup>0</sup>をつけ  $p_i^0$  として表わす)
- (ii)  $W/F$  が小でも 4 が確認できぬことから、4 は触媒層に入ると直ちに脱水素あるいは分解される。4 の脱水素される量と分解される量との比を  $1:d_3$  とする。(ここで、W は触媒充填量 (g-cat), F は全ガス流量 (mole/hr) を表わす)
- (iii) 5 と 6 は直ちに平衡となる。
- (iv) 5 の脱水素反応が律速段階である。

1) 日本薬学会第 96 年会、名古屋、1976 年 4 月、において一部を発表。

2) Location: Yoshida-Shimoadachi-cho, Sakyo-ku, Kyoto.

3) 岡田寿太郎、森田修之、土屋裕弘、薬誌、96, 801 (1976).

4) 土屋裕弘、森田修之、塙本豊久、岡田寿太郎、薬誌、96, 1005 (1976).



$a_3$  : part of decomposition      6    R : alkyl or phenyl

Chart 1. Reaction Scheme for the Formation of 2-Alkylpyrimidine (3) from Trimethylenediamine (1) and Aldehydes (2) on a Platinum Group Metal-Al<sub>2</sub>O<sub>3</sub> Catalyst

(v) 反応は全て1次とする。(各反応の速度定数を Chart 1 に示したとおり、おのおの  $k_4$ ,  $k_5$ ,  $k_6$ ,  $k_7$  とする).

(vi) 反応による体積変化は無視できるものとする。

これらの仮定のもとに 5, 6, 3 に関する反応速度式 (1)―(3) が得られる。

$$\frac{dp_5}{dt} = -k_5 p_{H_2O} p_5 + k_6 p_6 - k_7 p_5 \quad (1)$$

$$\frac{dp_6}{dt} = k_5 p_{H_2O} p_5 - k_6 p_6 = 0 \quad (2)$$

$$\frac{dp_3}{dt} = k_7 p_5 \quad (3)$$

ただし,  $t = W/F$  とする.

(1)+(2) より

$$\frac{dp_5}{dt} + \frac{dp_6}{dt} = -k_7 p_5 \quad (4)$$

式 (2) より

$$\frac{k_5 p_{H_2O}}{k_6} = \frac{p_6}{p_5} = K \quad (5)$$

とおくと

$$p_6 = K p_5 \quad (5)$$

$$\therefore \frac{dp_5}{dt} + \frac{dp_6}{dt} = (1+K) \frac{dp_5}{dt} \quad (6)$$

(4), (6) より

$$(1+K) \frac{dp_5}{dt} = -k_7 p_5 \quad (7)$$

ところで、仮定 (i)–(iii) より  $t=0$  における  $p_5$  として (8) 式が得られる。

$$p_5 = \frac{\alpha \cdot p_1^0}{1+a_3} \cdot \frac{1}{1+K}; \quad t=0 \quad (8)$$

初期条件 (8) のもとに (7) を解けば、

$$p_5 = \beta \cdot \frac{p_1^0}{1+K} \exp(-nt) \quad (9)$$

ただし、 $\beta = \frac{\alpha}{1+a_3}$  (10)

$$n = \frac{k_7}{1+K} = \frac{k_7}{1+(k_5/k_6)p_{H_2O}} \quad (11)$$

とする。

(9) を (3) に代入し、 $t=0$  で  $p_3=0$  として解けば、

$$\text{yield of 3} = \frac{p_3}{p_1^0} = \beta [1 - \exp(-nW/F)] \quad (12)$$

(10) 式で示される  $\beta$  は 3 の最終 ( $t=\infty$  における) 収率を示し、 $n$  は (11) 式のように、速度定数  $k_5, k_6, k_7$  と水蒸気分圧  $p_{H_2O}$  で示される値で、5 の脱水素速度定数  $k_7$  に比例する。

1 と 4, 5 と 6 は互いに平衡にあり、水蒸気の存在でそれぞれ 1 側、6 側に傾くので、水蒸気の代わりに非水溶媒の蒸気を用いれば、それぞれ 4, 5 側に傾くこととなり、 $\alpha$  がより大、 $K$  がより小となるから、 $\beta, n$  ともに大きくなり、収率とともに生成速度の増加が期待される。

このような見地から、著者らは、1 と 2 より生成する 3 の収率の向上を目的とするとともに、この反応と、トリメチレンジアミン (1) とアルコール (10), 酸 (11), エステル (12) からの 3 生成反応とを比較検討することを目的として実験した。

## 実験の部

**(1) 実験装置および方法** 実験装置は前報<sup>4)</sup> と同様。試薬はいずれも市販の 1 級品を使用。トリメチレンジアミンとアルデヒド、アルコール、エステル、酸等の原料と希釈剤（アルコールまたはベンゼン）をあらかじめ混合して気化器に供給。以後の操作方法は前報<sup>4)</sup> と同様。なお、アルコールを単独で反応させた場合の生成物は、メタノールドライアイスで凝縮させて補集。原料および反応生成物の定量にはガスクロマトグラフを使用。

**(2) 触媒** Pt(1%)-Rh(1%)-Al<sub>2</sub>O<sub>3</sub>, Pt(1%)-Rh(1%)-Cu<sub>2</sub>Cr<sub>2</sub>O<sub>5</sub>(10%)-Al<sub>2</sub>O<sub>3</sub>, Pt(1%)-Rh(1%)-CeO<sub>2</sub>(5%)-Al<sub>2</sub>O<sub>3</sub>, Cu<sub>2</sub>Cr<sub>2</sub>O<sub>5</sub>(10%)-Al<sub>2</sub>O<sub>3</sub>, Pd(2%)-CeO<sub>2</sub>(5%)-Al<sub>2</sub>O<sub>3</sub> の 5 種を用いた。担体の Al<sub>2</sub>O<sub>3</sub> および Pt(1%)-Rh(1%)-Al<sub>2</sub>O<sub>3</sub> は前報<sup>4)</sup> と同じものを使用。Pt(1%)-Rh(1%)-CeO<sub>2</sub>(5%)-Al<sub>2</sub>O<sub>3</sub>, Pd(2%)-CeO<sub>2</sub>(5%)-Al<sub>2</sub>O<sub>3</sub> は井上ら<sup>5)</sup> の方法に準じて調製。Cu<sub>2</sub>Cr<sub>2</sub>O<sub>5</sub>(10%)-Al<sub>2</sub>O<sub>3</sub> は所定量の Cu(NO<sub>3</sub>)<sub>2</sub>·3H<sub>2</sub>O 水溶液に Al<sub>2</sub>O<sub>3</sub> を加えた後、水浴上、蒸発皿に蒸溜水を添加しながら 2 時間加温。所定量の (NH<sub>4</sub>)<sub>2</sub>Cr<sub>2</sub>O<sub>7</sub> と 28% アンモニア水溶液を加え、水浴上加温、蒸発、蒸溜水添加を繰り返し、水分蒸発乾固。110°で乾燥(1 昼夜)、空気気流中 350°で 4 hr 焼成。Cu<sub>2</sub>Cr<sub>2</sub>O<sub>5</sub> として 10% となるようにした。Pt(1%)-Rh(1%)-Cu<sub>2</sub>Cr<sub>2</sub>O<sub>5</sub>(10%)-Al<sub>2</sub>O<sub>3</sub> はこの Cu<sub>2</sub>Cr<sub>2</sub>O<sub>5</sub>-Al<sub>2</sub>O<sub>3</sub> に前報<sup>3)</sup> と同様にして Pt-Rh を担持。

## 実験結果と考察

本論文中、2-アルキルピリミジン類 (3) の収率はいずれもトリメチレンジアミン 1 モルより 3 が 1 モル生成するものとして算出した。

### I. トリメチレンジアミン (1) とアルデヒド (2) との反応

**(1) 希釈ガスの影響** 1 と *n*-ブチルアルデヒドによる 2-*n*-プロピルピリミジン (13) 生成反応について検討した。希釈ガスとして、水蒸気、アルデヒドに対応するアルコール (*n*-ブチルアルコール), ベンゼン, N<sub>2</sub> ガスを用いた。

5) 井上正美, 榎本三郎, 今村順記, 薬誌, 95, 849 (1975).

TABLE I. Effect of  $H_2O$  and *n*-Butylalcohol (10) Partial Pressure for the Formation of 2-*n*-Propylpyrimidine (13) from Trimethylenediamine (1) and *n*-Butyraldehyde (2)

$p^{\circ}_1$	0.0351 atm	0.0351 atm	0.0351 atm	0.0355 atm
$p^{\circ}_2$	0.0351	0.0351	0.0351	0.0426
$p^{\circ}_{10}$	0.808	0.703	0.404	0
$p^{\circ}_{H_2O}$	0	0.105	0.404	0.800
$p^{\circ}_{H_2}$	0.122	0.122	0.122	0.123
13	0.807	0.714	0.581	0.423

reaction conditions: reaction temperature = 350°,  $W/F = 2.72$  g-cat.hr/mole

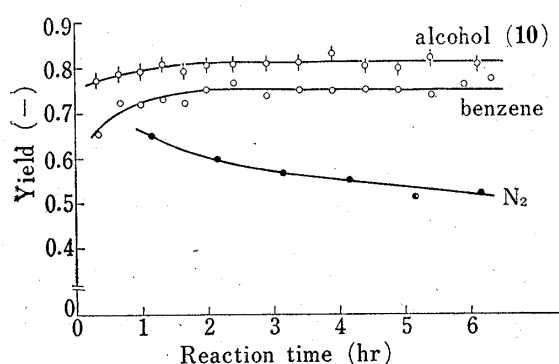


Fig. 1. Effect of Diluent Gas for the Formation of *n*-Propylpyrimidine (13) from Trimethylenediamine (1) and *n*-Butyraldehyde (2) on a Pt-Rh-Al<sub>2</sub>O<sub>3</sub> Catalyst

reaction conditions: reaction temperature = 350°,  $W/F = 2.72$  g-cat.hr/mole,  $p^{\circ}_1 = 0.0351$  atm,  $p^{\circ}_2/p^{\circ}_1 = 1$ ,  $p^{\circ}_{H_2} = 0.122$  atm,  $p^{\circ}_{10}(p^{\circ}_{benzene}, p^{\circ}_{N_2}) = 0.808$  atm

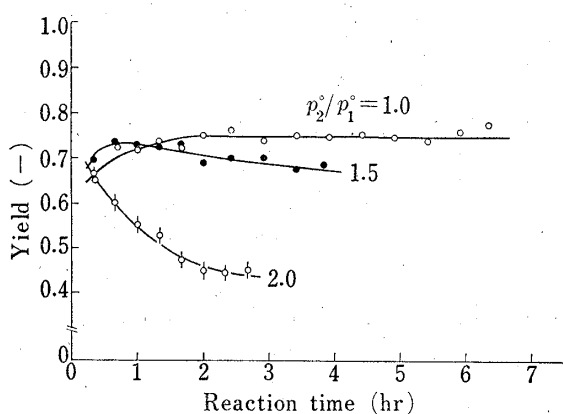


Fig. 2. Effect of Mole Ratio on the yield of 2-*n*-Propylpyrimidine (13) from Trimethylenediamine (1) and *n*-Butyraldehyde (2) at 350°

reaction conditions: reaction temperature = 350°,  $W/F = 2.72$  g-cat.hr/mole,  $p^{\circ}_1 = 0.0351$  atm,  $p^{\circ}_{H_2} = 0.122$  atm

$p_2/p_1$	$p_{benzene}$
1.0	0.808 atm
1.5	0.790 atm
2.0	0.773 atm

まず、希釈ガスとして、*n*-ブチルアルコールと水蒸気の各種混合ガスを用いて3収率の経時変化を調べた。

各条件下の13の収率は流通反応6時間の間いづれも一定であり、活性の経時変化は認められなかった。Table Iのよう、13の収率は水蒸気分圧の減少に伴ない著しく増加し、 $p^{\circ}_{H_2O}=0$ （希釈ガスとして*n*-ブチルアルコールのみ使用）のときには約80%となった。

この結果は、水蒸気以外の非水溶媒物質を希釈ガスとして使用すれば3の収率が増加するであろうという先の推定<sup>4)</sup>を裏付けるものである。そこで次に、同じ反応について、ベンゼン、N<sub>2</sub>を希釈ガスとして実験した。Fig. 1にその結果を示す。なお図中に*n*-ブチルアルコールを用いた時の結果をも示した。

ベンゼンの場合も、アルコールの場合と同様に、活性の劣化は認められず、高収率で13が得られた。*n*-ブチルアルコールとベンゼンの場合の収率の差（約5%）は、*n*-ブチルアルコールより生成するアルデヒドが13の生成反応に関与することによるものと考える。一方N<sub>2</sub>で希釈した場合は水蒸気を希釈ガスとした場合（収率42.3%）よりも収率は高いが、触媒活性の経時的劣化が認められた。

後述するように、Pt-Rh-Al<sub>2</sub>O<sub>3</sub>触媒上ではかなりのアルコールが変化してアルデヒドあるいは低分子量のガス成分となるのに対し、ベンゼンは反応に全く関与しないことから<sup>6)</sup>、以後の実験はベンゼンを希釈ガスとして行った。

6) 予備実験として実験条件、Pt-Rh-Al<sub>2</sub>O<sub>3</sub>を用い、 $p^{\circ}_{H_2} = 0.122 - 0.488$  atm, 反応温度 250—450°に変化。でベンゼンのみを反応器に供給し、ベンゼンの水素化反応を検討したが、ベンゼンが100%回収され、シクロヘキサン、シクロヘキセンのような水添物質の生成は全く認められなかった。

TABLE II. Effect of  $H_2O$  and Benzene for the Formation of 2-Alkylpyrimidines (3) from Trimethylenediamine (1) and Aldehyde (2) at 350°

	R		Yield (-)	
			$H_2O^a)$	Benzene <sup>b)</sup>
16	methyl		0.510	0.723
9	ethyl		0.510	0.748
13	n-propyl		0.449	0.736
17	isopropyl		0.430	0.687
18	n-butyl		0.323	0.700
14	n-pentyl		0.280	0.479
19	1-ethylpropyl		0.323	0.575
15	phenyl		0.430	0.805

reaction conditions: temperature = 350,  $W/F = 2.72$  g-cat.hr/mole

a)  $p_1^o = 0.0355$  atm,  $p_2^o/p_1^o = 1.2$ ,  $p_{H_2O}^o = 0.800$  atm,  $p_{H_2}^o = 0.123$  atm

b)  $p_1^o = 0.0351$  atm,  $p_2^o/p_1^o = 1.0$ ,  $p_{benzene}^o = 0.808$  atm,  $p_{H_2}^o = 0.122$  atm

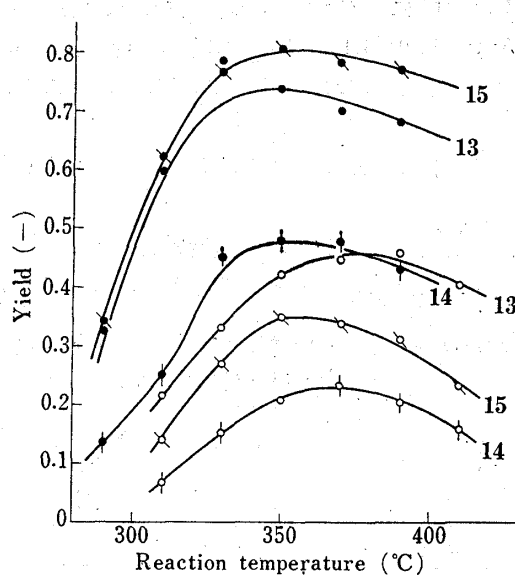


Fig. 3. Effect of Reaction Temperature

reaction conditions

$p_1^o$	0.0351	0.0351
$p_2^o$	0.0351	0.0426
$p_{H_2}^o$	0.122	0.123
$p_{benzene}^o$	0.808	0
$p_{H_2O}^o$	0	0.800
$W/F$ (g-cat.hr/mole)	2.72	1.37
2-n-propylpyrimidine (13)	●	○
2-n-pentylpyrimidine (14)	◆	◊
2-phenylpyrimidine (15)	■	□

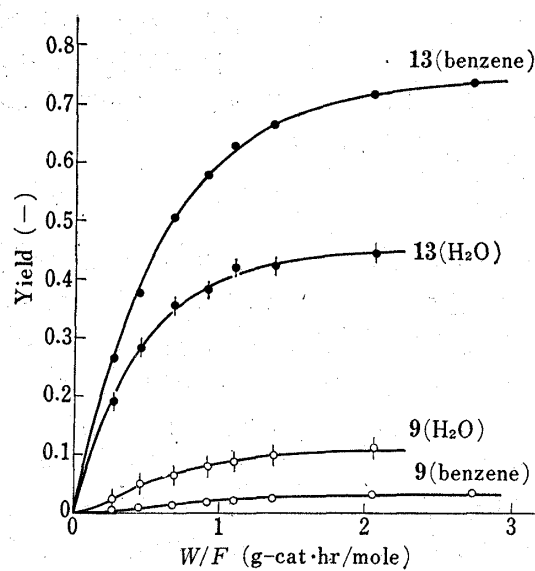


Fig. 4. Effect of  $W/F$  on the Yields of 2-Ethylpyrimidine (9) and 2-n-Propylpyrimidine (13) at 350°.

reaction conditions

$p_1^o$	0.0351 atm	0.0355 atm
$p_2^o$	0.0351	0.0426
$p_{H_2}^o$	0.122	0.123
$p_{benzene}^o$	0.808	0
$p_{H_2O}^o$	0	0.800
13	●	◆
9	○	◊

(2) 原料モル比 ( $p_2^o/p_1^o$ ) の影響 反応温度 350° で、原料中のトリメチレンジアミン (1) に対するアルデヒド (2) のモル比 ( $p_2^o/p_1^o$ ) の影響を調べた。Fig. 2 は 2 として n-ブチルアルデヒドを用い、 $p_2^o/p_1^o$  がおのおの 1.0, 1.5, 2.0 の時の 13 の収率の経時変化を示したものである。

モル比 1.0 では活性の劣化は認められなかったが、モル比を 1.5, 2.0 とするに従って劣化が激しくなった。この結果は水蒸気を希釈ガスとした時<sup>4)</sup>と同様であり、本反応でも過剰の 2 を用いた場合には、著しく触媒活性が劣化した。

(3) 反応温度の影響 ベンゼンを希釈ガスとして用い、2 として n-ブチルアルデヒド、n-ヘキシルアルデヒド、ベンズアルデヒドを用いて、反応温度 290—410° で反応を行ない、それぞれ生成する 13, 2-n-ペンチルピ

リミジン (14), 2-フェニルピリミジン (15) の収率を、希釈ガスとして水蒸気を用いた時の結果<sup>4)</sup>と比較して、Fig. 3 に示す。

各ピリミジン類 (3) とも、希釈ガスがベンゼンの場合には水蒸気の場合に比し、いずれの反応温度においても高収率であった。水蒸気の場合の至適反応温度が 350—380°であるのに対し、ベンゼンの場合のそれは 330—350°で、若干低くなっているが、これは両者の W/F 値の相異（後者は前者の 2 倍として実験した）によるものと考えられる。

Table II に、種々の 2 と 1 との反応について、希釈ガスとしてベンゼンまたは水蒸気を用いた場合の各ピリミジン類 (3) の 350°における収率を示した。

いずれの 2 を用いた場合にも、ベンゼンの方が水蒸気より高い収率を示している。（約 15—38% 大）。

(4) 反応速度論的考察 1 と n-ブチルアルデヒドによる 13 の生成反応について W/F を変えて実験した。Fig. 4 は希釈ガスが水蒸気の場合の結果<sup>4)</sup>と比較して示したものである。

目的物 13 および副生成物 9 の収率は、ともに  $W/F \geq 2.0 \text{ g-cat}\cdot\text{hr}/\text{mole}$  で一定となり、いずれも 3 が最終生成物であることを示している。両希釈ガスの大きな相異は、ベンゼンは水蒸気に比し 13 の収率が高いが 9 の収率は低いということである。すなわちベンゼンを用いることにより、1 の不均化反応による 9 の生成が抑えられ、2 との脱水環化反応がより支配的に進行することを示している。1 の不均化反応を経て生成する 2-メチルピリミジン (16), 9<sup>3)</sup> は、1 2 モルより、各 1 モルが生成するので、3 の生成に関与する 1 の割合を、反応温度 350°、W/F 約 2.0 g-cat·hr/mole の条件で比較すると、ベンゼン (16: trace, 9: 3.4%, 13: 71.6%), H<sub>2</sub>O (16: 3.7%, 9: 11.3%, 13: 44.4%) の場合、1 の 3 生成への利用率 (2(16+9)+13) はおのおの 78.4%, 74.4% であり、ベンゼンの方が大である。

Fig. 4 の結果を用いて式 (12) 中のパラメーター  $\beta, n$  を非線型最小二乗法により推算した。Table III に推定値を示す。

$W/F \rightarrow \infty$  の時の収率  $\beta$  の値はベンゼンでは水蒸気よりも大きくなつたが、見かけの速度定数  $k_7$  に比例する  $n$  の値は、逆に小さくなつた。Chart 1 において、ベンゼンを用いることにより 1 と 4 の平衡が、より 4 側に移行して (10) 式の  $\alpha$  を大ならしめ、従つて  $\beta$  が大きい値を示したものと考えられる。一方 (11) 式において、ベンゼン中では水蒸気中に比し  $p_{H_2O}$  が小さいにもかかわらず<sup>7)</sup>  $n$  が小さい値を示したのは、 $k_7$  の値がより小となつたためと考えられる。すなわち 5 とベンゼンとが触媒の脱水素活性点に競争的に吸着するため<sup>8)</sup> 5→3 に関与する脱水素活性点が減少し、見かけの速度定数  $k_7$  が小さくなるものと考えられる。

TABLE III. Nonlinear Least Square Estimates of Parameter Values

	H <sub>2</sub> O	Benzene
$n$	2.1	1.6
$\beta$	0.45	0.75

reaction temperature=350°  
 $n$  (mole/g-cat.hr)       $\beta$  (-)

TABLE IV. Activity of Metal-Al<sub>2</sub>O<sub>3</sub> Catalysts for the Formation of 2-Methylpyrimidine (16) and 2-Ethylpyrimidine (9) from Trimethylenediamine (1) and Ethyl Alcohol (10)  
Me-Al<sub>2</sub>O<sub>3</sub>

3	Me				
	Pt-Rh-	Pt-Rh-Cu <sub>2</sub> Cr <sub>2</sub> O <sub>5</sub> -	Pt-Rh-CeO <sub>2</sub> -	Cu <sub>2</sub> -Cr <sub>2</sub> O <sub>5</sub> -	Pd-CeO <sub>2</sub> -
16	0.310	0.247	0.316	0.023	0.045
9	0.228	0.051	0.103	0	0
Total	0.538	0.298	0.419	0.023	0.045

reaction conditions; reaction temperature=350°  $W/F=2.72 \text{ g-cat}\cdot\text{hr}/\text{mole}$ ,  $p^{\circ}_1=0.0351 \text{ atm}$ ,  $p^{\circ}_{10}=0.842 \text{ atm}$ ,  $p^{\circ}_{H_2}=0.122 \text{ atm}$

7) 本反応は、脱水過程を含むので、反応により多少の H<sub>2</sub>O が生成する。

8) A. Amano, G. Parravano, *Adv. in Catalysis*, 9, 716 (1957).

## II. トリメチレンジアミン (1) とアルコール類 (10) との反応

白金族金属-Al<sub>2</sub>O<sub>3</sub>触媒上では、10の脱水素によりアルデヒド(2)が生成する。<sup>9)</sup>そこで10の脱水素速度が速ければ、生成した2と1により収率よく3が得られると考えられ、また2よりも10の方が入手しやすいという見地から、1と種々の10との脱水素—脱水環化—脱水素反応による3の生成について検討した。

(1) 触媒 一般に10から2への脱水素反応の触媒としてCu-Cr系触媒が用いられていること、<sup>10)</sup> Pd-CeO<sub>2</sub>-Al<sub>2</sub>O<sub>3</sub>がピペラシン類からピラジン類への高い脱水素活性とその持続性を有していること<sup>5)</sup>などを考慮して、Table IVに示す5種の触媒を用い、1とエチルアルコールによる2-メチルピリミジン(16)生成反応について、その活性を比較した。

Al<sub>2</sub>O<sub>3</sub>にPt-Rh、Pt-Rh-Cu<sub>2</sub>Cr<sub>2</sub>O<sub>5</sub>、Pt-Rh-CeO<sub>2</sub>を担持した各触媒は流通時間7時間でいずれも活性の経時変化は認められなかった。従って、Table IVに示した収率は反応開始後2—7時間の平均値である。Al<sub>2</sub>O<sub>3</sub>にCu<sub>2</sub>Cr<sub>2</sub>O<sub>5</sub>、Pd-CeO<sub>2</sub>を担持した触媒はいずれもピリミジン類の収率が低く、また活性が急激に減少したので、Table IVの値は反応開始後20分のものである。両者とも2時間以内で完全に失活した。井上らは、Pd-CeO<sub>2</sub>-Al<sub>2</sub>O<sub>3</sub>触媒がピペラシン類からピラジン類への高い脱水素活性とその持続性を有しているとの報告<sup>5)</sup>をしている。しかし、ヘキサハイドロピリミジン類(4)からピリミジン類(3)への脱水素反応では、前報<sup>4)</sup>のPd-Al<sub>2</sub>O<sub>3</sub>と同様、これにCeO<sub>2</sub>を添加したPd-CeO<sub>2</sub>-Al<sub>2</sub>O<sub>3</sub>を用いても活性の劣化を防ぐことはできなかった。

Pt-RhにCu<sub>2</sub>Cr<sub>2</sub>O<sub>5</sub>、CeO<sub>2</sub>を添加することにより9の収率が減少したが、これは脱アミノ環化活性を有するAl<sub>2</sub>O<sub>3</sub>の酸性点<sup>3,4)</sup>がこれらの添加により減少するためと考えられる。

以上の結果より、用いた触媒の中でピリミジン類の全収率が最も大きく、活性の経時変化も認められなかったPt-Rh-Al<sub>2</sub>O<sub>3</sub>触媒を用いて以後の実験を行なった。

(2) 反応条件の検討 まず1とn-ブチルアルコールによる2-エチルピリミジン(9)、2-n-プロピルピリミジン(13)生成反応について、原料のモル比( $p^{\circ}_{10}/p^{\circ}_1$ )の影響を検討した。結果をTable Vに示す。

モル比1, 5, 24のいずれの場合にも、10から2への脱水素速度が遅いため、1の脱アミノ環化脱水素反応による9の生成が支配的であった。9の収率はモル比の増加によりやや減少する程度であるが、13の収率は増加の傾向を示した。しかしモル比24でも、全ピリミジン収率は43.5%にすぎなかった。

1のピリミジン類生成への利用率(2×9+13)はモル比1, 5, 24でおのおの59%, 64%, 71%であった。これらの値は2を用い、水蒸気中あるいはベンゼン蒸気中で反応を行なった時の値、74%あるいは78%に比し若干低い値である。すなわち10中では1の3生成以外の反応が進行するため、利用率が低下しているものと考えられる。

次に1とn-ブチルアルコールとの反応について、反応温度の影響を調べた。結果をFig. 5に示す。

TABLE V. Effect of  $p^{\circ}_{10}/p^{\circ}_1$  for the Formation of 2-Ethylpyrimidine (9) and 2-n-Propylpyrimidine (13) from Trimethylenediamine (1) and n-Butylalcohol (10) at 350°

$p^{\circ}_{10}/p^{\circ}_1$	1.0	5.0	24
$p^{\circ}_1$	0.0351 atm	0.0351 atm	0.0351 atm
$p^{\circ}_{10}$	0.0351	0.176	0.842
$p^{\circ}_{\text{benzene}}$	0.807	0.667	0
$p^{\circ}_{\text{H}_2}$	0.122	0.122	0.122
9	0.256	0.254	0.227
13	0.077	0.133	0.208
Total	0.333	0.386	0.435

reaction conditions:  
catalyst: Pt-Rh-Al<sub>2</sub>O<sub>3</sub> temperature=350°, W/F=2.72 g-cat.hr/mole

9) V. Moreno, G. Parravano, *Gazz. Chim. Ital.*, **91**, 479 (1961) [C.A., **57**, 10566f(1962)].

10) P.E. Dunbar, *J. Org. Chem.*, **3**, 242 (1938); P.F. Dunbar, M.R. Arnold, *ibid.*, **10**, 501 (1945); J.M. Jhurch, H.K. Joshi, *Ind. Eng. Chem.*, **43**, 1804 (1951); 工藤士郎, 工化, **58**, 719 (1955).

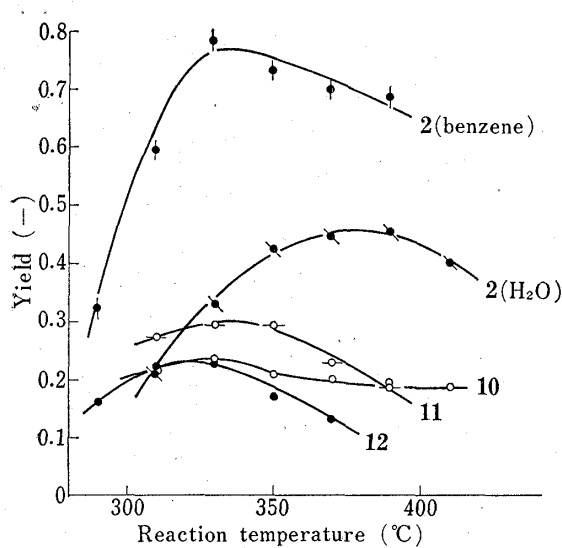


Fig. 5. Temperature Dependence of the Yield of 2-n-Propylpyrimidine (13) from Trimesylenediamine (1) and n-Butyraldehyde (2) or n-Butylalcohol (10) or n-Butyric Acid (11) or Ethyl-n-Butyrate (12)

reaction conditions						
$p^o_1$ (atm)	0.0351	0.0355	0.0351	0.0351	0.0351	
$p^o_2$ (atm)	0.0351	0.0426	0	0	0	
$p^o_{10}$ (atm)	0	0	0.842	0	0.808	
$p^o_{12}$ (atm)	0	0	0	0.0351	0	
$p^o_{11}$ (atm)	0	0	0	0	0.0351	
$p^o_{H_2}$ (atm)	0.122	0.123	0.122	0.122	0.122	
$p^o_{H_2O}$ (atm)	0	0.800	0	0	0	
$p^o_{benzene}$ (atm)	0.808	0	0	0.808	0	
W/F(g-cat.hr/mole)	2.72	1.37	2.72	2.72	2.72	
13	◆	●	○	●	○	

よりどの程度 2-n-プロピルピリミジン (13) が得られるかを、反応温度を変化させて検討した。エステルの場合にはベンゼンを、酸の場合には n-ブチルアルコールを希釈ガスとして用いた。<sup>15)</sup> 結果を 2, 10 の結果とともに Fig. 5 に示した。

酸、アルコール、エステルからの 13 の収率はこの順に低くなっている。酸の場合、エステルに比し収率が高いのは希釈ガスとして用いた n-ブチルアルコールの脱水素により生じる n-ブチルアルデヒドが 13 の生成に関与したためと考えられる。またアルコールの場合と同様に、酸、エステルの場合にも目的物 13 より多量の 2-エチルピリミジン (9) が生成した。

ところで、2, 10 の場合と異なり、酸またはエステルは 1 と反応して N-アシルトリメチレンジアミン (6) を生成すると考えられ、<sup>16)</sup> このものが Chart 1 の経路によって 3 を生成すると考えられる。350°, 1 に対する原料モル比 1 で、10, エステル (12) からの 13 の収率は 7.7% (Table V), 16.7% (Fig. 5) であることから、10 の脱水素による 13 の生成より、エステルから N-アシル体を経る 13 の生成の方が進みやすいといえる。

Fig. 5 には示していないが、ギ酸メチル、ギ酸エチルを用いた時のピリミジン (20) の収率はおのおの 14.8%,

11) 太田暢人，“触媒工学講座，7，触媒反応(2) 酸化、脱水素、分解”，触媒学会編，地人書館，東京，1964, p. 211.

12) 著者らは、トリメチレンジアミンとグリセリンから、ネオビード上または天然ゼオライト上で、2-メチルヘキサハイドロピリミジンを収率 20—25% で得た。

13) P.E. Weston, H. Adkins, *J. Am. Chem. Soc.*, **50**, 1930 (1928).

14) U.S. Pat., 3050523 (1962) [C.A., **57**, 15128 (1962)].

15) 酸の場合には、トリメチレンジアミンとにより生成する酸アミドがベンゼンに不溶のため、n-酪酸に対応するアルコールであるブチルアルコールを希釈剤とした。

16) S.P. Aspinall, *J. Am. Chem. Soc.*, **62**, 2160 (1940).

13 の収率は反応温度 (310—410°) によってあまり変化せず、2 を用いた時に比し低収率であり、(図中には示していないが) 9 がいずれの反応温度でも 13 とほぼ同収率で得られた。

他の 10 を用いた場合にも、10 から 2 への脱水素速度が遅いため、相当する 2-アルキルピリミジン (3) 以外にかなりの収率で 9 が生成し、選択的に 3 を得ることはできなかった。

また前報でホルムアルデヒドを用いた時と同様、<sup>4)</sup> メチルアルコールを用いてもピリミジン (20) の収率は低く、約 7% であった。

そこで Pt-Rh-Al<sub>2</sub>O<sub>3</sub> 上、10 単独で反応させその脱水素反応を調べたところ、触媒活性が強いために、<sup>11)</sup> 2-エーテルの生成はわずかであって、ほとんどは低分子量のガス成分にまで分解されていた。

さらに、2-ビニルピリミジンの生成を企図して 1 とアクリレイン、アリルアルコール、グリセリン<sup>12)</sup>との反応を行なったが、不飽和アルコールの脱水素によって不飽和アルデヒドを得ることが困難なため、<sup>13)</sup> いずれも目的物は得られなかった。

### III. トリメチレンジアミン (1) と酸 (11), エステル (12) との反応

1 と酸 (11), エステル (12), 酸アミド、酸無水物により 2-アルキルピリミジン (3) が生成するとの報告<sup>14)</sup> があるので、n-酪酸、n-酪酸エチル、n-酪酸メチルと 1 に

よりどの程度 2-n-プロピルピリミジン (13) が得られるかを、反応温度を変化させて検討した。エステルの場合

にはベンゼンを、酸の場合には n-ブチルアルコールを希釈ガスとして用いた。<sup>15)</sup> 結果を 2, 10 の結果とともに

Fig. 5 に示した。

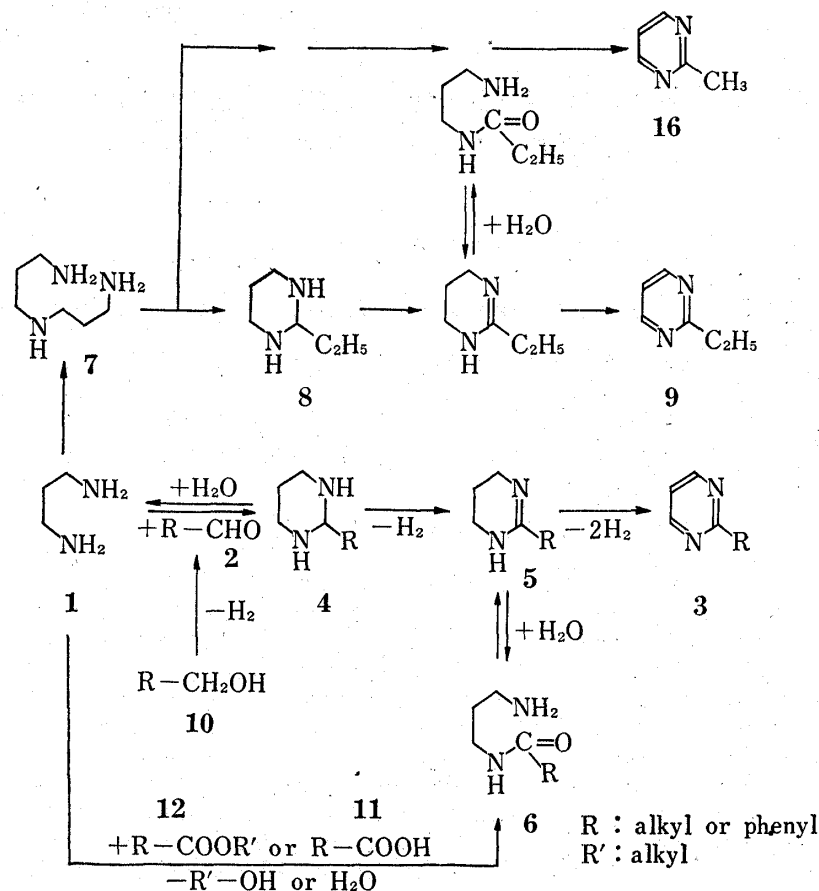


Chart 2. Reaction Scheme for the Formation of 2-Alkylpyrimidine (3) from Trimethylenediamine (1) and Aldehydes (2) or Alcohols (10) or Esters (12) or Acid (11) on a Platinum Group Metal-Al<sub>2</sub>O<sub>3</sub> Catalyst

15.4% であって、ホルムアルデヒド<sup>4)</sup> メチルアルコールを用いた時よりも 20 を有利に得ることができた。さらにアリルエステルとしてアクリル酸メチルを用い 1 との反応を行なったが、2-ビニルピリミジンは生成しなかった。

#### IV. 結論

本報での実験結果および前報<sup>4)</sup> の結果より、白金族金属-Al<sub>2</sub>O<sub>3</sub> 触媒上でのトリメチレンジアミン (1) とアルデヒド (2)、アルコール (10)、酸 (11)、エステル (12) との反応経路は Chart 2 で説明できる。

1 と 2 とより 2-アルキルピリミジン (3) の生成反応は、希釈ガスとして非水溶媒を用いると、1 とヘキサハイドロピリミジン (4)、N-アシルトリメチレンジアミン (6) とテトラハイドロピリミジン (5) の平衡がおのおの後者側に傾くため、(10) 式の  $\beta$  が大となり高収率で 3 が得られる。しかし触媒の脱水素活性点へ 5 と競争的に吸着するベンゼンのような希釈ガスを用いると、(11) 式において  $\rho_{H_2O}$  が小さくなるにもかかわらず、見かけの速度定数  $k_f$  がより小さくなるため、全体として  $n$  の値が小さくなる。

10 を用いた場合には 10 から 2 への脱水素速度が、また酸 (11)、エステル (12) を用いた場合には N-アシル体の生成速度が遅いため、1 の不均化とそれに続く脱アミノ環化脱水素により 16, 9 がかなり生成し、目的とするピリミジン類の選択率が低くなる。

従って、目的物の収率、選択率および生成速度を高めるには、2 を用い、かつ脱水素活性点上への吸着が弱く被毒しない非水溶媒を希釈ガスとして用いることが必要である。